

H4  
IC  
Kob

がき  
膜芽細胞癌

80

網膜芽細胞腫における癌抑制遺伝子  
の発現と E1A 蛋白 - ウィルス発癌モデルを  
用いた分子病理学的研究 -

(研究課題番号: 02670147)

骨

平成 4 年度科学 研究費補助金

一般研究 (C) 研究成果報告書

平成 5 年 3 月 本研究

件名: 80 病理学的アプローチを用いた  
網膜芽細胞腫における癌抑制遺伝子の発現と E1A 蛋白 - ウィルス発癌モデルを用いた分子病理学的研究

研究代表者: 小林 雄樹

(東京女子医科大学病理学教室 教授)

## はしがき

網膜芽細胞腫（以下RBと略）関連遺伝子RB geneは、RB患者の染色体分析により13番染色体ケ'ノムライフ'ラリーから分離された全長約4.7kbのDNA断片(H3-87°ロ-7')で、その後RB geneクロニク'が行なわれた。このうち翻訳部位は928アミノ酸で構成される遺伝子産物（RB蛋白）をコートし、27のエクリンからなる200kbのケ'ノムが確認された。また、RB以外の腫瘍（骨肉腫、肝細胞癌、線維肉腫、乳癌）での存在も判明した。我々はこれまでアテノウイルス12型誘発網膜腫瘍についてヒトRBに類似した形態特性、分化誘導に伴う形態変化を明らかにしてきたが、腫瘍化に直接関わる遺伝子レベルの異常に關しては未検討の課題であった。本研究の目的は、再現性の高い我々の発癌モデルを用いて初期過程からのRB geneの発現とE1A蛋白、核内oncogeneとの相互作用、細胞増殖、造腫瘍性に及ぼす影響を分子病理学的に検討することにある。

## 研究組織

研究代表者 小林楨雄 東京女子医科大学  
医学部 教授  
病理学講座

研究分担者 沢田達男 日本大学医学部  
助教授  
病理学講座

## 研究経費

平成 2 年度	1100 千円
平成 3 年度	700 千円
平成 4 年度	400 千円
計	2200 千円

## 研究発表

### 1 学会誌等発表

- 1) T. Sawada, M. Niihashi, I. Sakurai. ;  
An immunohistochemical study of  
neovasculation in human brain tumors  
Acta Pathol. Jpn. 38(6) : 713 - 721 1988
- 2) M. Afreen, K. Asayama, N. Uchida, K.  
Dobashi, H. Hayashibe, M. Kobayashi,  
K. Suzuki, A. Kawaoi, Y. Kato. ;  
Immunohistochemical localization of  
copper zinc and manganese superoxide  
dismutases in human tissues.  
Yamanashi Medical J. 5 : 181 - 188 1990
- 3) Y. Katoh, H. Matsumoto, M. Kobayashi,  
Y. Okada, A. Kawaoi. ; Genomic DNA  
analysis of rat retina tumor induced  
by adenovirus type 12. Acta Pathol.  
Jpn. 41(11) : 811 - 817 1991

- 4) K. Suzuki, H. Matsumoto, M. Kobayashi,  
A. Kawaoi, K. Asayama, S. Moriyama.;  
Immunohistochemical localization of  
copper zinc and manganese superoxide  
dismutase in diisopropanolnitrosamine  
-induced rat thyroid lesions. Acta  
Histochem. Cytochem. 24(1): 69-75 1991
- 5) 加藤陽一郎、岡田芳家、川生明：網膜芽  
細胞腫のハラフィン包埋組織を用いたDNA解  
析 東女医大誌 62(2): 107-111 1992
- 6) T. Sawada, Y. Kusumi, M. Niizhashi, I.  
Sakurai.; A kinetic study of the  
neovascularization in subcutaneous  
tumors of rats with cultured cell  
transplants from MNNU-induced glio-  
sarcoma and adenovirus 12-induced  
retinal tumor  
Neuropathol. 12: 39-46 1992

7) M. Yamamoto, M. Jimbo, M. Kobayashi, C.  
Toyoda, M. Ide, N. Tanaka, C. Lindquist  
, L. Steiner.; Long-term results of  
radiosurgery for arteriovenous mal-  
formation: Neurodiagnostic imaging &  
histological studies of angiographic  
ally confirmed nidus obliteration  
Surg. Neurol. 37:219-230 1992

## 2 口答発表

- 1) 加藤陽一郎、依田さつき、小林楨雄、  
川生明 ヒト網膜芽細胞腫における遺伝  
子発現 第79回日本病理学会秋季総会  
平成2年3月30日 福岡
- 2) 小林楨雄、沢田達男、加藤陽一郎、川生  
明 アデノウイルス12型誘発ヒト網膜腫瘍に  
おけるDNA解析 第80回日本病理学会  
総会 平成3年4月3日 大阪

- 3) 沢田達男、中村真理、齊藤誠、小林楨雄  
ラット実験中枢神経系腫瘍におけるNuclear  
Organizer regionsの検討-BUDR標識率と  
の比較検討 - 第32回日本神経病理学会総  
会学術研究会 平成3年5月9日 山形
- 4) 加藤陽一郎、森川智子、付強、柴田亮行  
金田良夫、豊田智里、小林楨雄 アテノ  
ウイルス12型誘発網膜培養細胞の分化誘導  
第81回日本病理学会総会  
平成4年5月16日 仙台

## はじめに

網膜芽細胞腫（以下RBと略）関連遺伝子RB geneは、RB患者の染色体分析により13番染色体ケ'ノムライフ'ラリーから分離された全長約4.7kbのDNA断片(H3-87'ロ-フ')で、その後RB geneクロニンク'が行なわれた。このうち翻訳部位は928アミノ酸で構成される遺伝子産物（RB蛋白）をコートし、27のエクリンからなる200kbのケ'ノムが確認された。また、RB以外の腫瘍（骨肉腫、肝細胞癌、線維肉腫、乳癌）での存在も判明した。我々はこれまでアテノウイルス12型誘発網膜腫瘍についてヒトRBに類似した形態特性、分化誘導に伴う形態変化を明らかにしてきたが、腫瘍化に直接関わる遺伝子レベルの異常に関しては未検討の課題であった。ヒトRBにおいてはアテノウイルス12型DNA断片(E1A, E1B)は、ササソフ'ロット法により組み込まれていないことが確認できたが、最近、RB蛋白とE1A蛋白とが複合体を形成して存在するという驚くべき発見がなされ(Whyte, 1988)、発癌におけるRB蛋白とE

E1A蛋白との関連が想定され注目されている。癌化のメカニズムの解明するためには、腫瘍化の初期でのこれらoncoproteinの発現を検討することが必要であるが、ヒトRBにおいてはその初期像を捉えることは難しい。本研究では、再現性の高い発癌モデルを用いて初期過程からのRB geneの発現とE1A蛋白、核内oncogeneとの相互作用、細胞増殖、造腫瘍性に及ぼす影響を分子病理学的に検討した。

腫瘍の誘発は、HEK細胞で増殖させたヒトアテノウイルス12型TW株（東京大学医学研究所癌ウイルス研究部白木和子博士の供与） $10^8$ PFU（感染力価）の濃縮液 $0.005\text{ml}$ を用い、Hamilton注射筒に接続した硝子毛細管により、CDF系新生仔ラット（生後24時間以内）7匹の眼球内に接種して腫瘍を誘発した。結果は接種後64日までに2匹の動物に腫瘍が形成された。本実験系を用い、以下の検索を行なった。

1. アテノウイルス12型誘発腫瘍組織からのE1A領域の発現をヒオチン化フローフを用いたササソフロット法

## 及び *in situ hybridization* 法による検討

2. ウィルス接種後、経時的（3日、1週、2週、4週、6-30週）に網膜組織DNAを抽出、ササソフロット法あるいは *in situ hybridization* 法によるRB蛋白とE1A蛋白発現の検討 [平成2年度] 3. PCRを用いた細胞増殖とオンコシン(N-myc)の腫瘍組織内同定 [平成3-4年度] 実験成績を以下に述べる。

### 1. アテノウィルス12型誘発腫瘍組織からのE1A領域の発現の検討

[材料と方法] 腫瘍組織からのDNAの抽出は、Sambrookらの方法にしたがった。新鮮腫瘍組織からのDNAを制限酵素(EcoRI, HindIII)で切断し、1%アガロースケルで電気泳動によりDNA断片を分離し、<sup>32</sup>P標識したフローフはランタムフライマーにより調整しササソフロット法に供した。*in situ hybridization* 法は、同じフローフをフォトビオチンで標識し、小路らの方法に従い、4%PFA/PBSで固定した凍結試料を切片とし、フロテアセで前処理後に湿箱中で反応を行ない、酵素

抗体法で呈色した。フローハイブリダイゼーションには  
50%ホルムアミド、5×SSC、100-200 μg/mlサケ精巣DN  
A、50mM sodium phosphate(pH 6.5)、0.1%SD  
S、10×Denhart液を用いた。

[結果と考察] 対照として、ラット血清アルファミン  
cDNAをフローフとした場合、全てに抽出された  
DNAと相補結合するバンドが認められた(図1)  
。E1A断片をフローフとした場合には、腫瘍組織  
より抽出したDNAにおいてのみバンドが認め  
られた(図2)。さらに、ヒトRB遺伝子cDNA(H3  
-8領域)では、対照動物から抽出したDNAとは  
反応が弱いが、全てのDNAにおいてバンドが同  
定できた(図3)。この実験結果からは、ウィル  
ス誘発腫瘍組織ではヒトRBと同様のRB gene の  
不活性化は証明できなかった。アテノウイルスを接  
種して1週間後の腫瘍組織において、内顆粒  
層の細胞にE1Aの発現が確認できた。

## 2. RB蛋白とE1A蛋白発現の経時的(3日、1週、 2週、4週、6-30週)観察

[材料と方法] 同様の方法で腫瘍誘発を試み

たが、1/22(4.5%)に網膜腫瘍が誘発でき、期間は118日であった。経時的(3日、1週、2週、4週、6-30週)に網膜組織DNAを抽出、E1A蛋白の組み込みが確認できた腫瘍組織について、制限酵素をEcoR1としてヒトRB gene(H3-8)をフローフ'そしてササソフ'ロット法を行ない、また、ハ'ラフィン包埋組織からDNAを抽出して、polymerase chain reaction(PCR)法で検討した。

[結果と考察] 1)の結果であきらかな様にヒトRB geneに関しては、腫瘍組織、対照共にハ'ラット'が同定できた。即ち、発癌過程でのヒト及びラットに共通した遺伝子異常が示唆された。このフ'ローフ'を用いRBにおける遺伝子異常を確認するためのPCR法で観察すると、ヒトフ'レアルフ'ミン遺伝子のエクソン3と、RB遺伝子のエクソン20の位置に一例で欠損が証明できた。ウィルス接種して1週、2週後の網膜組織からのDNA発現をみると1週後の内顆粒層の細胞に既に発現が確認できた。

### 3. 細胞増殖能とオンコシン(N-myc)の腫瘍組織内

## 同定

[材料と方法] ラット新生仔硝子体腔内にウイルス接種後3時間より経時的に眼球を摘出した。組織を4%PFAで固定後、パラフィン包埋切片を作成し、E1A遺伝子とヒトN-myc遺伝子をプローフとして *in situ hybridization* を行ない、同時に抗p53モノクローナル抗体(Oncogene Science社)と抗PCNAモノクローナル抗体(Novocastra社)を用いABC法で免疫染色をした。

[結果と考察] アテノウイルスE1A遺伝子のmRNAはウイルス接種後3時間から同定することができ、その後持続的に発現していることが確認された(図4-6)。N-myc遺伝子のmRNAは、6時間後より反応は弱いが発現していた。63時間後に最も顕著に陽性細胞を認めた(図7)。腫瘍組織はいずれも陽性細胞を観察できた(図8,9)。免疫染色では、p53の発現は全てにおいて陰性であったが、PCNAの標識率は63時間の組織で急激に増加した。このウイルス誘発実験系では、かなり早期からウイルス初期遺伝子の発現

があり、それに誘導される癌関連遺伝子N-mycの発現が腫瘍化への重要な役割を担うことが示唆された。また、p53遺伝子には、変異型が存在し癌遺伝子としての特徴も有することが明確にされているが、本研究での染色態度からは腫瘍発生に直接関与していないものと考えられた。

## 結論

- 1) アテノウイルス12型誘発腫瘍組織ではヒト遺伝生網膜芽細胞腫の腫瘍化に関連すると考えられているRB geneの不活性化は証明できなかつた。
- 2) ヒトRB geneに関しては、腫瘍組織、対照共にハントが同定できた。即ち、発癌過程でのヒト及びラットに共通した遺伝子異常が示唆された。このフローフを用いRBにおける遺伝子異常を確認するため、PCR法で観察すると、ヒトフュレアルフミン遺伝子のエクソン3と、RB遺伝子のエクソン20の位置に一例で欠損が証明できた。
- 3) このウイルス誘発実験系では、かなり早期からウイルス初期遺伝子の発現があり、それに誘導される癌関連遺伝子N-mycの増幅が腫瘍化への重要な役割を担うことが示唆された。
- 4) 癌抑制遺伝子の一つp53はこの腫瘍発生には直接関与していないものと考えられた。

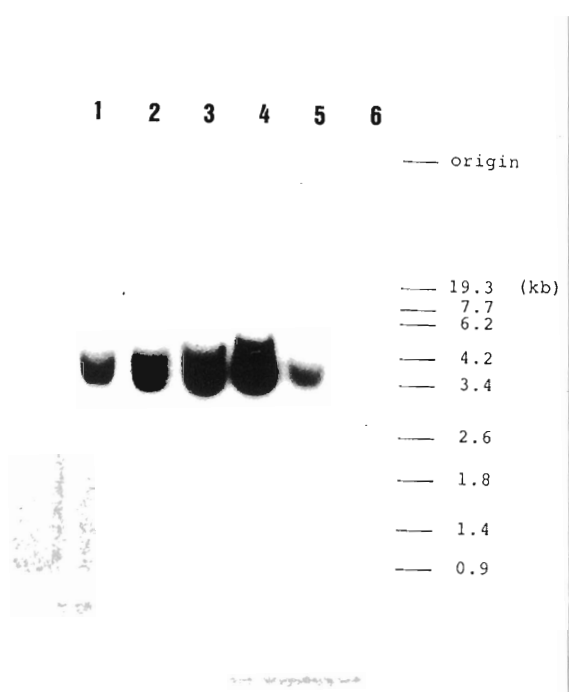


図 1. ラット血清アルファ・ミンをプローフとした

southern blot analysis

1 : 10  $\mu$  g DNA 担腫動物

2 : 10  $\mu$  g DNA 担腫動物

3 : 18  $\mu$  g DNA 対照動物（網膜）

4 : 26  $\mu$  g DNA 対照動物（網膜）

5 : 8  $\mu$  g DNA 対照動物（肝）

6 : 10  $\mu$  g DNA ヒト末梢血（リンパ球）

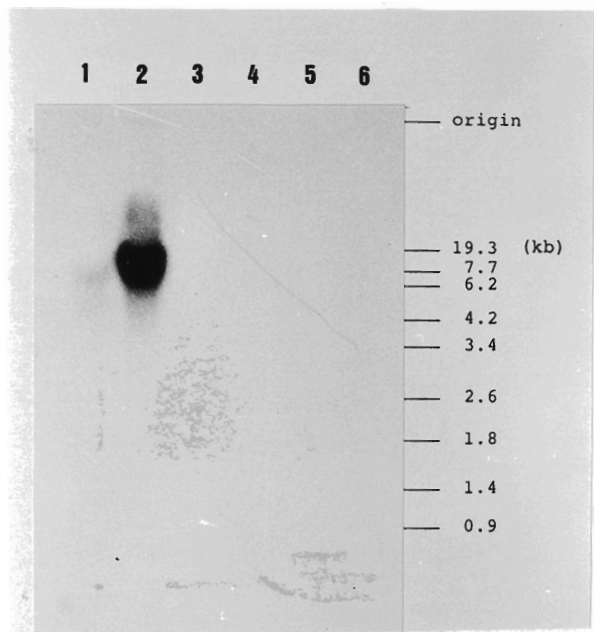


図 2. 7テ'ノウイルス12型 E1A を7'ロ-7'とした

southern blot analysis

1 : 10  $\mu$  g DNA 担腫瘍動物

2 : 10  $\mu$  g DNA 担腫瘍動物

3 : 18  $\mu$  g DNA 対照動物(網膜)

4 : 26  $\mu$  g DNA 対照動物(網膜)

5 : 8  $\mu$  g DNA 対照動物(肝)

6 : 10  $\mu$  g DNA ヒト末梢血(リンパ球)

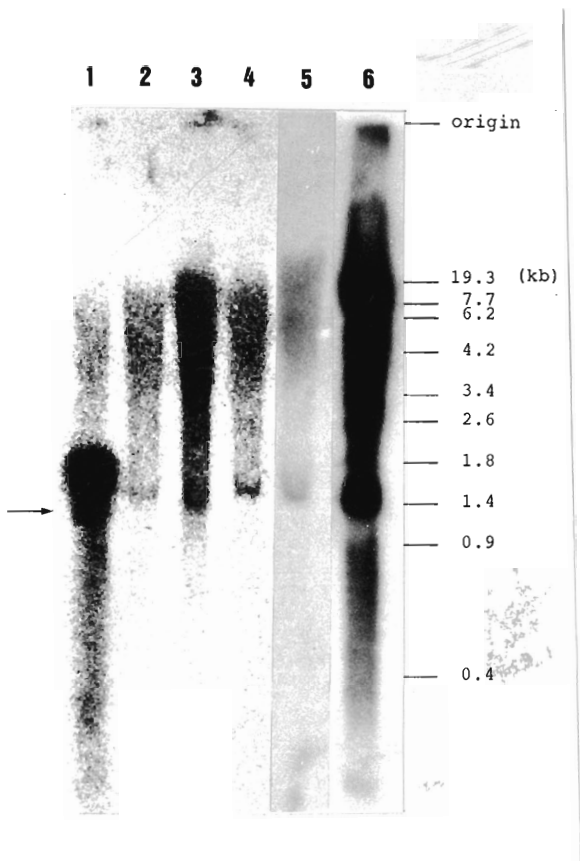


図 3. Rb gene (H3-8) 領域をプローフとした southern blot analysis

1 : 10  $\mu$  g DNA 担腫癌動物

2 : 10  $\mu$  g DNA 担腫癌動物

3 : 18  $\mu$  g DNA 対照動物（網膜）

4 : 26  $\mu$  g DNA 対照動物（網膜）

5 : 8  $\mu$  g DNA 対照動物（肝）

6 : 10  $\mu$  g DNA ヒト末梢血（リンパ球）

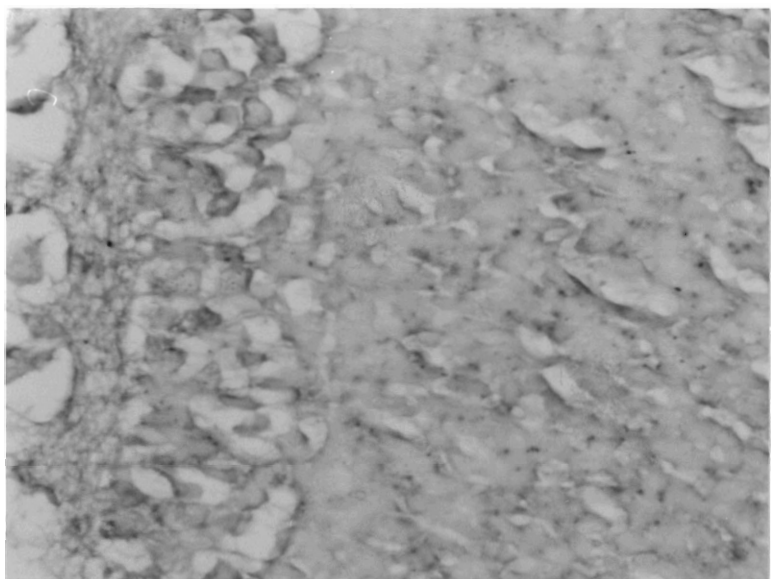


図 4. アデノウイルス接種後 3 時間

E1A oncoprotein mRNA

の局在

( in situ hybridization 法 )

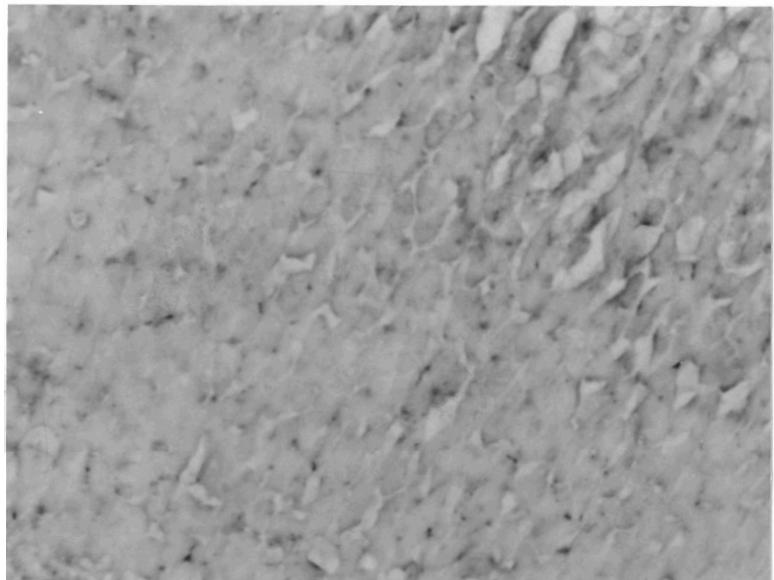


図 6. アデノウイルス接種後 24 時間

E1A oncogene mRNA

の局在

( *in situ* hybridization 法 )

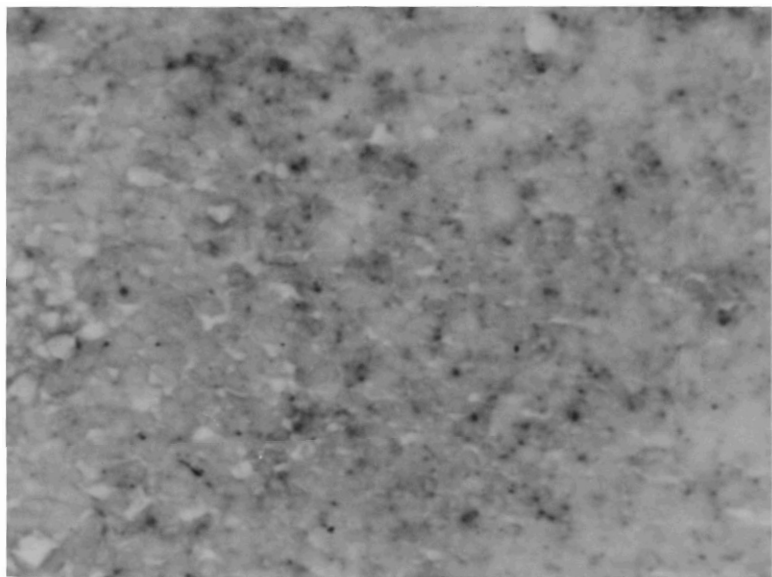


図 7. アデノウイルス接種後 63 時間

N-myc mRNA の局在

(in situ hybridization 法)

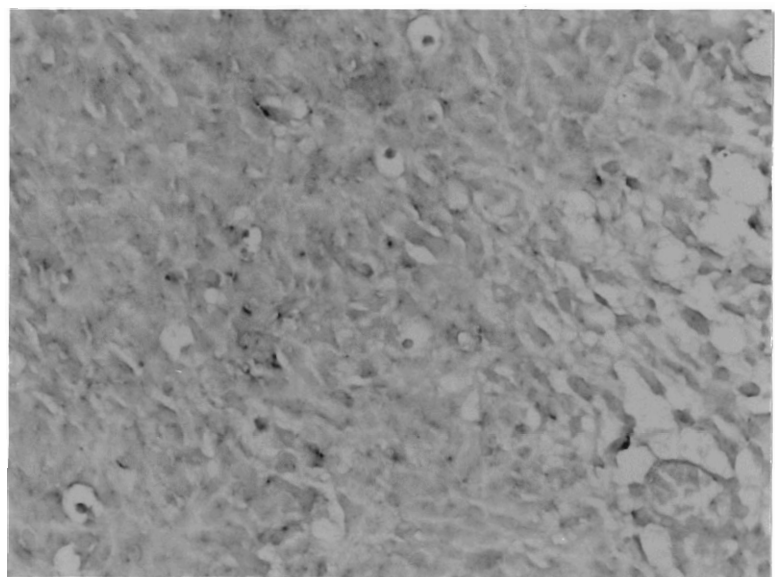


図 9. アテノウイルス接種後 118 日で

誘発された網膜腫瘍

N-myc の局在

(in situ hybridization 法)